



*Российская Академия Наук*

Департамент по недропользованию по СКФО  
Академия наук Чеченской Республики  
ИИЕТ им С.И. Вавилова РАН  
Геофизический институт ВНЦ РАН  
Институт геологии ДНЦ РАН  
Чеченский государственный университет  
ГГНТУ им. акад. М.Д. Миллионщикова

**СОВРЕМЕННЫЕ ПРОБЛЕМЫ  
ГЕОЛОГИИ, ГЕОФИЗИКИ И ГЕОЭКОЛОГИИ  
СЕВЕРНОГО КАВКАЗА**

**Том VIII**

Коллективная монография  
по материалам VIII Всероссийской научно-технической конференции  
«Современные проблемы геологии, геофизики и геоэкологии Северного Кавказа»  
10-13 октября 2018 г., г. Ессентуки

Научные редакторы:

*д.ф.-м.н., профессор,  
академик Академии наук Чеченской Республики И.А. Керимов  
д.ф.-м.н., профессор В.Б. Заалишвили  
д.г.-м.н., профессор В.И. Черкашин*

Москва 2018

УДК 55(470.6)

ББК 26.3 (235.7)+26.2(235.7)+20.1(235.7)

*Печатается по решению Ученого совета ИИЕТ РАН (протокол № 6 от 04.09.2018)  
и Президиума Академии наук Чеченской Республики (протокол № 7 от 05.09.2018)*

**Современные проблемы геологии, геофизики и геоэкологии Северного Кавказа. Том VIII /** Под ред. И.А. Керимова, В.Б. Заалишвили, В.И. Черкашина. М.: ИИЕТ РАН, 2018. 547 с.

*Авторский коллектив:*

*Керимов И.А., Заалишвили В.Б., Черкашин В.И., Абдуллаева И.В., Абрамова Т.Т., Абубакарова Э.А., Абумуслимова И.А., Аверкина Т.И., Адилев З.А., Александров Б.Л., Анаев М.Т., Анахаев Х.А., Андреева Т.В., Антонов В.А., Астапова Д.А., Ахматханов Р.С., Бабаринова Г.Б., Бабкина В.П., Бадаев С.В., Балькова С.Д., Барановский А.Ф., Бачаева Т.Х., Белуженко Е.В., Беляев Е.В., Беляков А.С., Бериев О.Г., Бозуш И.А., Божеежа Д.Н., Борисенко З.Г., Борисенко Л.С., Бочкарев А.В., Бочкарев В.А., Бурдзиева О.Г., Бурыш Ю.А., Вardanян В.П., Варламов А.И., Васюков И.М., Вахрушев Б.А., Веревкина П.К., Висмурадов А.В., Войтенко В.Н., Вольфман Ю.М., Габсатарова И.П., Гагаева З.Ш., Гаджиев А.М., Гайрабеков У.Т., Гайсумов М.Я., Гарькуша Д.Н., Гацаева Л.С., Гацаева С.С.-А., Геккиева С.О., Голованов К.С., Голубев Д.А., Григорьев А.М., Григорьев М.А., Григорьева И.Ю., Гуныкина Т.А., Гуны А.Н., Гусейнов А.А., Даваева Ц.Д., Даукаев А.А., Даукаев Асл. А., Дементьева И.Е., Денекин И.А., Диденкулов И.Н., Димитриади Ю.К., Докукин М.Д., Долова М.Л., Еременко Е.А., Еремينا Н.В., Жигалин А.Д., Забураев Ч.Ш., Забураева Х.Ш., Иваненко Т.А., Исаев М.А., Казанкова Э.Р., Кануков А.С., Караев Ю.И., Керимов А.М., Керимов А-Г.Г., Керимова Е.Г., Климов В.В., Кокин А.В., Колесникова Е.Я., Корнилова Н.В., Корчагин И.Н., Крамаренко В.С., Краснов Е.В., Крицкая О.Ю., Крупская Л.Т., Кузнецников Е.П., Курашева О.А., Лавров В.С., Лебедев М.С., Лебедева Е.Т., Левашов С.П., Луцкий А.В., Лысенко А.В., Малянова Л.С., Маммаев Б.О., Маммаев О.А., Матяхова Е.Ю., Медведева Е.М., Мельников П.Н., Микерина Т.Б., Милоков В.К., Минченко Ю.С., Миссарова Р.Г., Митина Е.И., Мишурицкий Д.В., Мудуев Ш.С., Мясников А.В., Немцов Н.И., Николаев А.В., Остапенко А.А., Остроухов С.Б., Парада С.Г., Перейма А.А., Петренко В.И., Петренко Н.Н., Петрушина М.Н., Пинчук Т.Н., Подчасова Т.А., Пономарёва Н.Л., Попков В.И., Попков И.В., Потапова В.И., Прозорова Г.Н., Пустовитенко Б.Г., Розовенко В.В., Рябов Г.В., Сабитов А.А., Сазонов И.Г., Салтанова А.Г., Самойленко И.Ю., Сангаджиева Л.Х., Сангаджиева О.С., Семендуев М.М., Сергин С.Я., Сианисян С.Э., Сианисян Э.С., Скворцов М.Б., Степанян А.А., Стерленко З.В., Стогний В.В., Стогний Г.А., Сутормина Э.Н., Тамаева М.Р., Тамбиева Н.С., Трет С.А., Труфанов А.В., Труфанов В.Н., Туманова Е.Ю., Тыщенко Е.В., Усманов А.Х., Федоров Ю.А., Филатова М.Ю., Харченко В.М., Хасиев К.Т., Хаустов В.В., Хосаев Х.С., Черненко К.И., Чеченов А.М., Чигирова Л.Б., Чимаева Х.Р., Чотчаев Х.О., Шаповалов В.А., Шаранов В.К., Шатобин Е.А., Шахбазян Т.З., Шеремецкая Е.Д., Шестерикова А.А., Шестерикова Р.Е., Шкирман Н.П., Щербуль З.З., Эзирбаев Т.Б., Эльжаев А.С., Якимчук Н.А., Яковлева Е.С.*

Монография подготовлена коллективом автором по материалам VIII Всероссийской научно-технической конференции с международным участием «Современные проблемы геологии, геофизики и геоэкологии Северного Кавказа» (г. Ессентуки 10-13 октября 2018 г.). В коллективной монографии представлен широкий спектр научных проблем: от изучения геологического строения Северного Кавказа и отдельных районов России до вопросов геоэкологии и природоохранной деятельности. Представлены материалы, посвященные вопросам геологии и минеральным ресурсам Юга России, перспективным направлениям современной геологии и геофизики, прогнозу и поискам полезных ископаемых, использованию новейших методов и технологий, моделированию геологического строения, геоэкологическим проблемам и др.

Публикуемые материалы представляют интерес для широкого круга ученых и специалистов научных и производственных организаций, студентов и аспирантов геологических, геофизических и геоэкологических специальностей.

Материалы публикуются в авторской редакции.

ISBN 978-5-98866-068-2

© ИИЕТ им. С.И. Вавилова РАН, 2018

© Академия наук Чеченской Республики, 2018

© Коллектив авторов, 2018

ранжирования, установления очередности природоохранных мероприятий и оптимизации расходов на их проведение.

### Литература

1. Алказ В.Г. Основы прогноза сейсмической опасности и сейсмического риска территории Республики Молдова. Кишинев: Elena-VISRL, 2007. 229 с.
2. Ваганов П.А. Экогеологический риск: оценка прогнозирование и картирование // Вестник СПбГУ. Серия 7, 2003. Вып. 1. № 7. С. 33–45.
3. Пустовитенко Б.Г., Кульчицкий В.Е., Пустовитенко А.Н. Новые карты общего сейсмического районирования территории Украины. Особенности модели долговременной сейсмической опасности // Геофизический журнал, 2006. № 3. С. 54–77.
4. Оценка сейсмической и геологической опасностей – необходимая составляющая повышения экологической безопасности Крыма / А.В. Луцкий, Т.А. Иваненко, Б.Г. Пустовитенко и др. // Материалы I Международного экологического форума в Крыму «Крым – эколого-экономический регион. Пространство ноосферного развития» 2017 года / Под ред. В.А. Иванова, Е.И. Игнатова, И.С. Кусова и др. Севастополь: Филиал МГУ имени М.В. Ломоносова в г. Севастополе, 2017. С. 121-124.
5. Шкала сейсмической интенсивности. ДСТУ Б.В.1.1-28:2010. / Ю. Немчинов, М. Маренков, К. Езутов и др. Київ: Мінрегіонбуд України, 2011. 46 с.

УДК 551.491.4

## РЕШЕНИЕ ГИДРОГЕОЛОГИЧЕСКИХ ЗАДАЧ БАСЕЙНА ОЗЕРА СЕВАН ПО МЕТОДУ ЭЛЕКТРОРАЗВЕДКИ (ВЭЗ)

© Варданян В.П.

*Кафедра геофизики ЕГУ, Армения*

*При исследовании распределения подземного стока в качестве основных вопросов рассмотрены: а) определение пространственного распределения и концентрации подземного стока, имея его суммарную величину (по данным водного баланса); б) оценка ориентировочных расходов отдельных палеодолин для решения задач перехвата подземного стока на высоких отметках.*

*На основании критического анализа и переинтерпретации этого материала (в основном, данные ВЭЗ) составлена новая сводная карта в масштабе 1: 50.000 и разрезы для регионального водоупора (палеорельефа) всего водосборного бассейна озера Севан.*

*Учитывая то обстоятельство, что региональный водоупор является основным распределителем подземного стока, составленные карты палеорельефа и разрезы дают объективную информацию о путях прохождения сосредоточенного подземного стока и благоприятных участках их перехвата.*

***Ключевые слова:** Гегамский хребет, Варденисский хребет, бассейн озера Севан, подземный сток, современный сток, современный водораздел, палеорельеф, гидрогеолог - геофизический разрез, эффузивные породы.*

**Введение:** Среди многочисленных факторов, обуславливающих условия формирования подземного стока бассейна озера, являются источники его питания:

- инфильтрация атмосферных осадков;
- инфильтрация вод из поверхностных водотоков и оросительных сетей.

Физико-геологические условия Гегамских и Вардениских горных сооружений бассейна, в особенности, вулканических хребтов, благоприятны для формирования

подземного стока. В первую очередь, это значительное количество атмосферных осадков (в среднем 500-900 мм/год), возрастающее по мере повышения гипсометрии, мощный снежный покров, высокая влажность воздуха, трещиноватость и проницаемость эффузивных пород Гегамского и Варденисского нагорий что способствует инфильтрации значительной части атмосферных осадков вглубь. Проходя трещины и пустоты верхних горизонтов эффузивного комплекса, они достигают водоупорных пород и, образуя множество подземных водотоков, стекают в направлении к озеру Севан или выступают на дневную поверхность либо в периферийных частях лавовых потоков, либо в глубоких каньонах, где речной эрозией вскрыта кровля водоупора [1, 2].

**Результаты работ.** При исследовании распределения подземного стока в качестве основных вопросов рассмотрены: а) определение пространственного распределения и концентрации подземного стока, имея его суммарную величину (по данным водного баланса); б) оценка ориентировочных расходов отдельных палеодолин для решения задач перехвата подземного стока на высоких отметках. При решении первой задачи нами проработан большой объем полевого материала по методу вертикального электроразведывания (ВЭЗ) (около 1100 физ. точек) и бурения (около 50 разрезов буровых скважин). На основании критического анализа и переинтерпретации этого материала (в основном, данные ВЭЗ) нами составлена новая сводная карта (рис. 1) и разрез (рис. 2) для регионального водоупора (палеорельефа) всего водосборного бассейна озера Севан. Сводная карта составлена в масштабе 1: 50.000.

Учитывая то обстоятельство, что региональный водоупор является основным распределителем подземного стока, составленные карты палеорельефа и разрезы дают объективную информацию о путях прохождения сосредоточенного подземного стока и благоприятных участках их перехвата [3].

**Восточные склоны Гегамского хребта.** Гегамский хребет представляет собой ландшафт недавно угасшей вулканической деятельности. Это огромное овально-вытянутое щитовидное нагорье, которое расположено на абсолютных отметках преимущественно более 2000 м [4]. Водораздельная часть нагорья расположена на высоте около 2800-3200 м и представляет собой платообразную поверхность лавовых покровов и потоков, над которой возвышаются отдельные вулканические вершины и останцевые экстрезивные купола. Склоны хребта имеют ассиметричное строение: обращенные к озеру Севан восточные склоны пологие, а западные спускаются более крутыми, четка выраженными уступами. Территория хребта характеризуется неравномерной густотой гидрографической сети. Так, если северная часть лишена поверхностного стока и гидрографически представляет собой бессточный бассейн, то южная - прорезана многочисленными долинами рек Гаварагет, Азат и др.

Как уже отмечалось, для картирования палеорельефа как основного распределителя подземного стока, широко использованы геофизические (электроразведочные) методы, а в прибрежных частях - также бурение. Для определения пространственного положения погребенного водораздела хребта и строения рельефа регионального водоупора восточных склонов проанализированы и заново интерпретированы более 500 графиков электрических зондирований; использованы около 30 разрезов буровых скважин, вскрывших подлавовые породы. Анализ сводной карты (рис. 1) совместно с гидрогеологическими данными позволяет сделать следующие основные выводы о возможном распределении подземного стока восточных склонов нагорья. При этом, в качестве основных гидрогеологических элементов рассматриваются подземные водотоки и погребенные (водосборные) бассейны [3, 5].

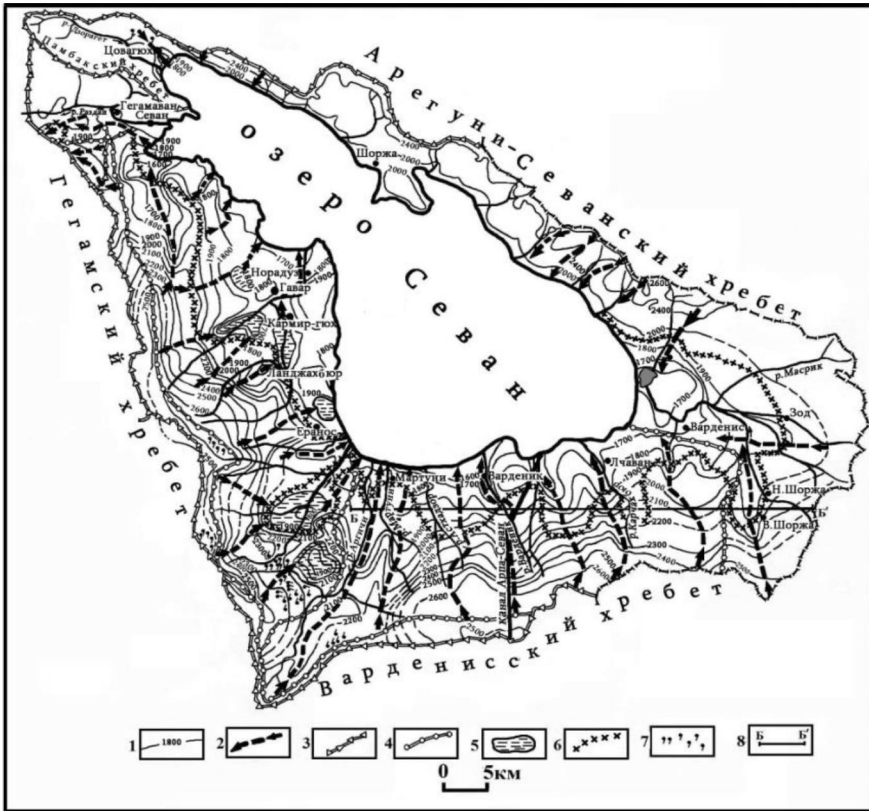


Рис. 1. Карта рельефа регионального водоупора. Бассейн озера Севан:

1 – изолинии рельефа регионального водоупора в абсолютных отметках, метр; 2 – основные пути сосредоточенного движения подземных вод (палеодолины); 3 – современный (поверхностный) водораздел; 4 – региональный погребённый водораздел; 5 – погребённый (водосборный) бассейн; 6 – контакт подлавовых водоупорных пород; 7 – территории, где установлена инверсия современного и погребённого рельефов; 8 – линия литолого-геоэлектрического разреза.

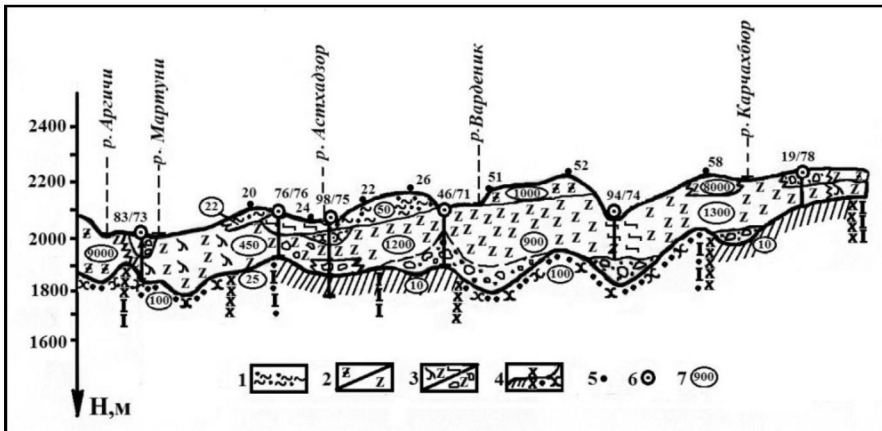


Рис. 2. Гидрогеолого-геофизический разрез по профилю Б-Б', северные склоны Варденисского нагорья:

1 – современные рыхлообломочные образования (супеси, суглинки и т.п.); 2 – вулканические образования плотные, относительно сухие; 3 – те же породы трещиноватые, водоносные; 4 – рельеф регионального водоупора: а) глинистые отложения; б) туфопесчаники, порфириды и их аналоги; 5 – точки электротондирования; 6 – буровые скважины; 7 – удельное электросопротивление пород в Омм.

**Центральный водоток** - это один из основных сосредоточенных потоков в пределах северных склонов Гегамского нагорья. Он формируется на отметках 2500-2300 м, имеет близмеридиональное, с юга на север, направление движения и разгружается в акваторию озера у с. Чкаловка. Рассматриваемый водоток на западе ограничен главным водоразделом нагорья, а на востоке – основным водоразделом ЮЗ – СВ направления (в сторону оз. Севан). Вдоль последнего водораздела нами установлен контакт, разделяющий водоупорные породы разного литологического состава: это глины со стороны оз. Севан и туфопесчаники, порфириды со стороны высокогорных склонов нагорья.

В пределах водосборного бассейна рассматриваемого водотока, из-за исключительной водопроницаемости толщи лав, несмотря на большое количество атмосферных осадков, поверхностный сток практически не образуется. Следовательно, на этом участке в формировании Центрального водотока принимают участие, как глубоко проникающие атмосферные осадки, так и другие инфильтрационные воды (от орошения и т.п.). Здесь следует ожидать сравнительно большой расход водотока. Для оценки этого расхода воспользуемся гидродинамическим методом расчета с применением формулы Дарси. На этом участке имеются результаты сравнительно детальных электроразведочных работ, которые позволяют определить параметры искомой палеодолины. Получены следующие данные: ширина долины поверху - 750 м, понизу - 250 м, мощность

водоносного слоя  $m = 100$  м, коэффициент фильтрации  $K_f = 25$  м/сут. (по корреляционной зависимости), гидравлический уклон  $I = 0.08$  (по карте регионального водоупора). Расход водотока ожидается:

$$Q = \frac{a+b}{2} * m * I * K_f \quad (1)$$

$$Q = \frac{750 + 250}{2} * 100 * \frac{25}{86400} * 0.08 \approx 1.15 \text{ м}^3/\text{с}$$

Сосредоточенные подземные потоки, в основном ЮЗ – СВ направления движения, выявлены в пределах центральной части восточных склонов нагорья, примерно от широт с. Чкаловка до с. Еранос. Здесь установлены 7 основных водотоков, палеоводосборные бассейны, которые разграничены локальными (местными) водоразделами. Это водотоки Айриванский, Цахкашенский, Палеогаварагет, Саруханский, Палеогехаркуник и др. Многие из этих сосредоточенных потоков, не доходя до озера Севан, разгружаются, скорее всего, в пределах локальных погребенных впадин (бассейнов) [5, 6]. Так, например, **Айриванский водоток** разгружается в бассейне, ооконтуриваемого изолинией 1750м северо-западнее г. Гавар; **Цахкашенский и Палеогаварагет водотоки** - в бассейне, ограниченного изолинией 1700 м западнее с. Батикян; **Саруханский водоток** - в пределах известного Саруханского месторождения подземных вод, ооконтуриваемого изолинией 1750 м. Наконец, **Палеогехаркуник** разгружается в пределах погребенного бассейна, установленного севернее с. Еранос, ограниченного изолинией 1850 м. Как видно на карте в литологическом отношении основанием практически всех предполагаемых погребенных водосборных бассейнов служат глинистые отложения. Контакт водоупорных пород разного литологического состава в плане проходит несколько западнее от выделенных локальных впадин. Большинство из вышеотмеченных основных водотоков прослеживаются до указанного контакта. Следовательно, в структурном отношении этот контакт, по-видимому, является водоконтролирующим гидрогеологическим элементом для подземного стока (здесь

возможно существование тектонического нарушения). Следует также выделить погребенный водораздел, установленный недалеко от береговой части оз. Севан между с. Норадуз и с. Еранос: здесь возможно существование подпорной зоны подземного стока.

В южной части восточных склонов Гегамского нагорья установлены 2 подземных потока. Это Тазагюхский и Сарнахпюрский водотоки. Они имеют СЗ - ЮВ направление движения. В областях их формирования и транзита наблюдаются многочисленные выходы подземных вод (родники). Рассматриваемые водотоки граничат с Вардениским нагорьем и отделяются от него погребенным основным водоразделом. Так же, как и многие из выделенных водотоков, они, не доходя до оз. Севан, частично разгружаются в локальных погребенных впадинах: *Тазагюхский* в бассейне юго-западнее с. Тазагюх, оконтуриваемого изолинией 1900 м, *Сарнахпюрский* - в бассейне юго-восточнее с. Сарнахпюр, ограниченного изолинией 2100 м.

Из выделенных водотоков результаты детальных работ имеются для Саруханского, что позволяет оценить его расход для створа, проходящего по точкам ВЭЗ.

Установлены следующие параметры водотока: сечение -  $a=1500\text{м}$ ,  $b = 500\text{м}$ ; средняя мощность водоносного горизонта  $m = 80\text{ м}$ ; гидравлический уклон  $I = 0,01$  (по карте регионального водоупора);  $K_f \approx 65\text{ м/сут.}$  (по корреляционной зависимости).

Расчет (оценка) расхода водотока по формуле Дарси (1)  $Q = 0.60\text{ м}^3/\text{с}$ .

Наконец, следует отметить о картировании пространственного положения погребенного водораздела, проходящего по юго-восточной части нагорья. Это, фактически, главный водораздел, разделяющий погребенные водосборные бассейны Гегамского и Вардениского хребтов [3, 7].

**Северные склоны Вардениского хребта.** Вардениский хребет представляет собой обширное широтно вытянутое горное сооружение со сводообразным поперечным профилем и высотами до 3000-3100 м; склон хребта полого спускается к северу, в сторону оз. Севан и к югу, к верховьям р. Арпа и ее правого притока р. Элегис. Выяснение пространственного положения древней гидрографической сети северных склонов вардениского нагорья имеет важное научно-практическое значение, так как с ней связаны поэтажно расположенные подлаговые и межлаговые водные потоки [8].

По данными количественной интерпретации графиков около 400 точек электророндирований и 30 буровых скважин на составленной нами карте (рис. 1), в основном, наблюдается общий уклон с юга - юго-востока на север - северо-запад, что соответствует структурному строению Вардениского синклиория. Основное количество подземных вод, фильтруясь через лавы и следуя по древним структурным долинам, направляется в сторону оз. Севан и питает отдельные, в том числе артезианские бассейны, прилегающие к озеру. В пределах северных склонов нагорья выделен ряд основных водотоков, прослеживающихся от главного водораздела нагорья (область формирования) до акватории оз. Севан (район разгрузки). Кроме этих основных в пределах нагорья установлены также локальные водотоки.

**Водоток Палеоаргичи** - формируется на стыке юго-восточных склонов Гегамского хребта с Вардениским. Практически, он проходит под руслом современной р. Аргичи и поэтому этот водоток следует назвать погребенной долиной, т.н. р. Палеоаргичи. Водоток прослеживается от главного водораздела нагорья до бережья озера, т.е. на расстоянии более 30 км. Так как по этому водотоку имеются створы, где выполнены детальные (в том числе, геофизические) работы, то для оценки его расхода воспользуемся гидродинамическим методом расчета. От главного водораздела нагорья до с. Мадина, где выбран расчетный створ, наклон водотока составляет около 0.014 (по карте рельефа регионального водоупора). Остальные параметры водотока следующие:

исходя из сечения, установленного по электроразведочным данным, ширина долины поверху  $\alpha = 2000$  м, понизу  $b = 500$  м; мощность водоносного слоя  $m = 80$  м; величина  $K_{\phi}$  определена по зависимости  $T_{\text{мп}} = f(K_{\phi})$  и составляет около 60 м/сут.

Следовательно, ожидается следующий расход водотока по формуле Дарси (1)  $Q = 1,0 \text{ м}^3/\text{с}$

Выделенные водотоки практически формируются в пределах водосборных бассейнов рек Мартуни, Варденик, Арцванист, Карчахпюр и их можно считать палеодолинами этих рек - Палеомартуни, Палеоварденик, Палеоарцванист и Палеокарчахпюр.

Нужно отметить, что трасса известного тоннеля **Арпа-Севан**, которая проходит по рассматриваемому участку, фактически совпадает с долиной р. Палеоварденик, что следует считать одной из основных причин пересечения тоннелем отдельных водообильных зон.

Значительный интерес представляет водоток, который формируется южнее оз. Большой Алагель. На основании результатов детальных работ получены следующие параметры палеодолины:  $\alpha = 750$  м,  $b = 250$  м,  $m = 120$  м,  $K_{\phi}$  по зависимости  $T_{\text{мп}} = f(K_{\phi})$  равен 15 м/сут,  $I$  в расчетном створе по карте рельефа регионального водоупора составляет 0.058.

Расход водотока ожидается:  $Q = 0,6 \text{ м}^3/\text{с}$ , по формуле (1)

Наконец в качестве основного нами выделен, так называемый *водоток Палеомасрик*, который формируется на стыке северных склонов Варденисского хребта с Зангезурским. Водоток проходит параллельно р. Масрик и его можно считать ее палеодолиной; до поступления в Масрикский водосборный бассейн он объединяется с водотоком, поступающим со стороны Зангезурского хребта и имеющим близширотное направление. Объединенный водоток разгружается в пределах акватории озера на отметках около 1800 м.

Таким образом, исходя из пространственного положения установленных водоразделов и анализа строения рельефа регионального водоупора, можно сделать заключение, что подземный сток северных склонов Варденисского хребта на палеоотметках 2300-2500 м (при современных отметках 2500-2700 м) формируется в виде отдельных сосредоточенных потоков. Этому способствует сравнительно спокойный характер поверхностного рельефа, большая трещиноватость лавовых образований и значительное количество атмосферных осадков (до 800-900 мм/год).

В отличие от водотоков Гегамского нагорья, которые разгружаются частично в локальных погребенных впадинах, водотоки Варденисского хребта практически прослеживаются до побережья озера. Здесь происходит основная разгрузка подземных вод в виде мощных групп родников.

Наконец, окончательная разгрузка сосредоточенных вод происходит на территории акватории озера, в пределах относительно глубокозалегающих напорных бассейнов подземных вод [3, 5].

**Юго-западные склоны Арегуни-Севанских хребтов.** Участок занимает северо-восточное узкое побережье оз. Севан, ограничиваясь с севера - северо-востока водораздельной линией Арегуни-Севанского хребта с абсолютными отметками около 2900-3300 м. Отсутствие здесь лавовых потоков и покровов коренным образом отличают этот участок от территорий Гегамского и Варденисского хребтов. В геологическом отношении район сложен верхнемеловыми и эоценовыми отложениями известняково-мергелистыми и вулканогенно-осадочными породами [9]. Карбонатные отложения характеризуются сильной трещиноватостью, что создает благоприятные условия для инфильтрации атмосферных осадков.



В гидрогеологическом отношении рассматриваемый район весьма малопродуктивен и здесь подземные воды имеют ограниченное распространение. Выпадающие атмосферные осадки образуют, в основном, кратковременный поверхностный сток, а питание подземных вод происходит через трещиноватые, выветренные и обнаженные участки коренных пород.

Основные данные о распределении подземного стока района получены по результатам гидрогеологических работ [7]. Геофизические исследования из-за стесненности рельефных условий и менее перспективности района в отношении поиска подземных вод проведены, в основном, вдоль береговой полосы оз. Севан и только частично носят площадной характер. Установлено, что глубина распространения грунтовых вод, приуроченных к аллювиально-делювиальным и озерным отложениям, в основном, не превышает 50-60 м. Трещинно-грунтовые и слабонапорные воды в трещиноватых зонах зоценовых конгломератов и туфобрекчий и меловых известняках и мергелях вскрыты до глубины 200 м.

Распределение подземного стока и пути их сосредоточенного движения показаны на сводной карте рис. 1.

В целом величина подземного притока в озеро с этого участка определена на основании водно-балансовых расчетов и составляет около  $0.71 \text{ м}^3/\text{с}$  или 22 млн.  $\text{м}^3/\text{год}$ ; она получена как разница между полным естественным стоком ( $2.63 \text{ м}^3/\text{с}$ ) и среднегодовым речным стоком ( $1.92 \text{ м}^3/\text{с}$ ) [3, 10].

**Выводы.** Анализ сводной карты (рис. 1) совместно с гидрогеологическими данными позволяет сделать следующие основные выводы о возможном распределении подземного стока всего водосборного бассейна озера Севан. При этом, в качестве основных гидрогеологических элементов рассматриваются подземные водотоки и погребенные (водосборные) бассейны, где выделяются сосредоточенные потоки.

### Литература

1. *Ананян А.К.* Некоторые результаты комплексных исследований по проблеме сохранения уровня озера Севан на высокой отметке // Результаты комплексных исследований по Севанской проблеме. Сборник. Ереван: 1961. Т. 1.
2. *Аракелян Л.С., Шагинян В.Х.* О результатах детальных разведочных работ, проведенных в 1979-84 гг. в пределах Саруханского месторождения бассейна оз. Севан. Рукопись. Ереван: Фонды УГРА, 1984.
3. *Минасян Р.С., Варданян В.П.* Палеорельеф и распределение подземного стока Центрального вулканического нагорья Армении. Ереван: Асогик, 2003. 151с.
4. Геология Армянской ССР. Геоморфология. Ереван: Изд-во АН Арм. ССР, 1974.
5. *Минасян Р.С.* Изучение подземных вод вулканических областей геофизическими методами. М.: Недра, 1989. 197с.
6. *Везуни В.Т., Аветисян В.А.* Гидрогеология бассейна оз. Севан // В сб. Ин-та гидроэнергетики. Ереван: Изд. АН Арм. ССР, 1960.
7. *Везуни В.Т., Аветисян В. А.* Геолого-гидрогеологические условия бассейна оз. Севан // В сб. Результаты комплексных исследований по Севанской проблеме. Ереван: Изд. АН Арм. ССР, 1961. Т.1.
8. *Бальян С.П.* Структурная геоморфология Армянского нагорья. Ереван: Изд. ЕГУ, 1969, 390с.
9. *Асланян А.Т.* К вопросу о происхождении оз. Севан. Ереван: Изд. АН Арм. ССР, Естественные науки, 1947. № 8, с. 39-43.
10. *Боревский Б.В., Аракелян Л.С. и др.* О региональной оценке эксплуатационных ресурсов пресных подземных вод бассейна оз. Севан (по состоянию на 1.07.85 г.). Рукопись. Ереван: Фонды Армгеология, 1985. Том 1. Книги 1, 2, 3, 4.